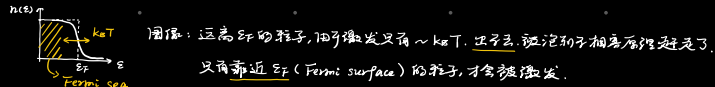


· 强简并费米气体 ·

考虑 $T \neq 0$ 情形

$$n(\epsilon) = \frac{1}{e^{\beta(\epsilon - \mu)} + 1}, \quad \beta\mu \gg 1, \quad 12 - \mu \gg k_B T.$$

只能在 $\epsilon = \epsilon_F$ 附近 $k_B T$ 范围内与 $T=0$ 时不同。



问: 化学势也会随温度变化, 这里实际上是 sloppy 的. 如何变?

$$\frac{n\lambda^3}{g} = f_{3/2}(z): \quad E = \frac{3}{2} \frac{gV}{\lambda^3} k_B T f_{5/2}(z), \quad PV = \frac{2}{5} E, \quad \text{从中展开!}$$

需要 $f_n(z)$ 在 $z \gg 1$ 时的渐近行为.

Claim:

$$f_n(z) \simeq \frac{(\ln z)^n}{n!} \left[1 + \frac{2^n}{8} \frac{n(n-1)}{(\ln z)^2} + \mathcal{O}\left(\frac{1}{(\ln z)^4}\right) \right] \quad (\text{Sommerfeld 展开})$$

代入:

$$\frac{n\lambda^3}{g} = f_{3/2}(z) \simeq \frac{(\ln z)^{3/2}}{(\frac{3}{2})!} \left[1 + \frac{2^3}{8} \frac{1}{(\ln z)^2} \right]$$

级数所给出

$$\frac{n\lambda^3}{g} = \frac{(\ln z)^{3/2}}{(\frac{3}{2})!}$$

$$\ln z = \left[\frac{(\frac{3}{2})!}{g} n \lambda^3 \right]^{\frac{2}{3}} \quad \lambda = \frac{h}{\sqrt{2m k_B T}}$$

$$= \frac{h^3 g}{22m} \cdot \left[\frac{3\sqrt{2}}{4g} n \right]^{\frac{2}{3}}$$

$$= \left(\frac{6\sqrt{2} n}{g} \right)^{2/3} \cdot \frac{h^3}{2m} \beta.$$

$$\Rightarrow \epsilon_F = \frac{1}{\beta} \ln z = \frac{h^2}{2m} \left(\frac{6\sqrt{2} n}{g} \right)^{2/3}$$

一阶修正:

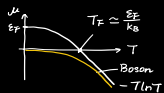
$$\ln z = \left[\frac{(\frac{3}{2})!}{g} n \lambda^3 \right]^{\frac{2}{3}} \cdot \left[1 + \frac{2^3}{8} \frac{1}{(\ln z)^2} \right]^{-\frac{2}{3}}$$

$$\simeq \beta \epsilon_F \cdot \left[1 + \frac{2^3}{8} \frac{1}{(\beta \epsilon_F)^2} \right]^{-\frac{2}{3}} \quad (\text{代入零阶})$$

$$\simeq \beta \epsilon_F \left[1 - \frac{2^3}{12} \left(\frac{k_B T}{\epsilon_F} \right)^2 \right]$$

$$\mu(T) \simeq \epsilon_F \left[1 - \frac{2^3}{12} \left(\frac{k_B T}{\epsilon_F} \right)^2 \right].$$

室温下, $\mu(T)$ 的偏形为 $(\frac{10^3}{10^6})^2 \simeq 10^{-6}$. 这确实小!



观察图表: 重要的是 "exponent", "behavior", 不是具体的系数!

那么系数得到了也没啥用.

石法

$$P = \frac{g}{\lambda^3} k_B T f_{5/2}(z) \simeq \frac{g}{\lambda^3} k_B T \cdot \frac{(\ln z)^{5/2}}{(\frac{5}{2})!} \left[1 + \frac{5 \cdot 2^3}{8} \frac{1}{(\ln z)^2} \right].$$

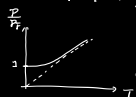
代入

$$\ln z = \beta \epsilon_F \left[1 - \frac{2^3}{12} \left(\frac{k_B T}{\epsilon_F} \right)^2 \right]$$

得到

$$P = \frac{g}{\lambda^3} k_B T \cdot \frac{8}{15\sqrt{2}} (\beta \epsilon_F)^{5/2} \left[1 - \frac{2^3}{12} \left(\frac{k_B T}{\epsilon_F} \right)^2 \right]^{5/2} \cdot \left[1 + \frac{5 \cdot 2^3}{8} \left(\frac{k_B T}{\epsilon_F} \right)^2 \right]$$

$$= P_F \cdot \left[1 + \frac{5 \cdot 2^3}{12} \left(\frac{k_B T}{\epsilon_F} \right)^2 \right].$$



$$E = \frac{3}{2} PV = \frac{3}{2} N \epsilon_F \left[1 + \frac{5 \cdot 2^3}{12} \left(\frac{k_B T}{\epsilon_F} \right)^2 \right]. \quad \text{与 } P \text{ 相同.}$$

热量

$$C_V = \frac{dE}{dT} = \frac{3}{5} N E_F \cdot \frac{5 \pi^2}{12} \cdot \frac{2 k_B T}{E_F} \\ = \frac{\pi^2}{2} N k_B \cdot \left(\frac{k_B T}{E_F} \right) \propto T.$$

$$\propto \underline{g(E_F) \cdot k_B T}.$$

↳ 费米面附近的态密度: $\sim \frac{N}{E_F}$.

$$g(E_F) = \frac{2V}{(2\pi)^3} \cdot 4\pi k^2 dk = g(E) dE. \Rightarrow g(E) \propto \sqrt{E}.$$

$$N \simeq \int_0^{E_F} g(E) dE \sim E_F^{3/2}.$$

$$\Rightarrow \frac{N}{E_F} \simeq g(E_F).$$

因此: 温度很低时, 只有 E_F 附近 $k_B T$ 的粒子 对热量有贡献!

$$C_V \sim \underbrace{g(E_F)}_{\text{态密度}} \cdot \underbrace{k_B T}_{\text{范围}(dE)} \cdot \underbrace{k_B}_{\text{热容}}.$$

从该图还可看出: $C_V \propto T$ 与温度无关! 经验称为!

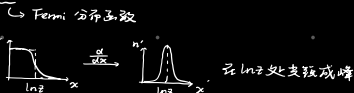
金属 低温下: 声子 + 电子

$$C_V \sim \alpha T^3 + \gamma T. \quad \underline{\text{温度很低时, } \gamma T \text{ 占主导地位!}}$$

Sommerfeld Expansion

$$f_m(z) = \frac{1}{\Gamma(m)} \int_0^\infty dx \frac{x^{m-1}}{z - e^x + 1}$$

$$= -\frac{1}{m!} \int_0^\infty dx \cdot x^m \frac{d}{dx} \left(\frac{1}{z - e^x + 1} \right)$$



令 $x = \ln z + t$:

$$f_m(z) = -\frac{1}{m!} \int_{-\infty}^{+\infty} dt (\ln z + t)^m \frac{d}{dt} \left(\frac{1}{1 + e^t} \right)$$

$$\simeq -\frac{(\ln z)^m}{m!} \int_{-\infty}^{+\infty} dt \underbrace{\left(1 + \frac{t}{\ln z} \right)^m}_{\sum_{l=0}^m \binom{m}{l} \left(\frac{t}{\ln z} \right)^l} \frac{d}{dt} \left(\frac{1}{1 + e^t} \right)$$

$$= -\frac{(\ln z)^m}{m!} \sum_{l=0}^m \frac{m!}{l!(m-l)!} \frac{1}{(\ln z)^l} \int_{-\infty}^{+\infty} t^l \frac{d}{dt} \left(\frac{1}{1 + e^t} \right) dt$$

$$= \begin{cases} 0, & l \text{ 为奇数} \\ 2, & l = 0 \\ -2 \int_0^\infty \frac{t \cdot t^{l-1} dt}{1 + e^t} = 2l! \cdot f_l(2) \end{cases} \quad \text{↳ 偶函数}$$

$$= \frac{(\ln z)^m}{m!} \left[1 + \sum_{\substack{l=2 \\ l \text{ even}}}^m \frac{m!}{(m-l)!} \cdot 2 f_l(2) (\ln z)^{-l} \right].$$

问: 积分上下限收敛带来的误差:

$$\int_{-\infty}^{-\ln z} dt \left(1 + \frac{t}{\ln z} \right)^m \frac{d}{dt} \left(\frac{1}{1 + e^t} \right)$$

$$= \int_{-\infty}^{-\ln z} \underbrace{dt \left(1 + \frac{t}{\ln z} \right)^m}_{\text{poly}} \frac{e^t}{(1 + e^t)^2} \xrightarrow{\text{exp}} \xrightarrow{\text{其反分部积分一下, 就是 } m! e^{-ln z}} \simeq e^t, \text{ 因为 } t \rightarrow -\infty$$

$$\simeq \int_{-\infty}^{-\ln z} e^t dt \simeq e^{-\ln z} = \frac{1}{z}.$$

而 $\frac{1}{z}$ 相对 $\frac{1}{\ln z}$ 是小量, 故可以忽略.

(下节继续)

· 总结: 热力学量的“指纹”, 是物质相互作用的“fingerprint”

例 观察 He II (强关联体系, 无精确求解)

在 $T \rightarrow 0$ 时发波 $C_v \sim T^3$

\Rightarrow 声子模式: $\epsilon = ck$, 后续的中子散射实验证明了这件事情.

· 例 金属热容

$C_v \sim \alpha T^3 + \gamma T$

$T \rightarrow 0$, $C_v \sim T \Rightarrow$ 费米气体, 电子海.

在室温下没有电子贡献, 但 $\gamma T \rightarrow$ “自由电子气”是存在的!